

T-Mobile Polska S.A.
ul. Marynarska 12
02-674 Warszawa

Pełnomocnik: ~~XXXXXXXXXX~~
Pełnomocnictwo numer: 3571/10/16
z dnia: 2016-10-15

dane do korespondencji:

~~XXXXXXXXXX~~
ul. ~~XXXXXXXXXX~~
~~XXXXXXXXXX~~
tel. ~~XXXXXXXXXX~~



pm. OSLIR MK
- Beau

Starostwo Powiatowe w Pyrzycach

Ul. Lipiańska 4

74-200 Pyrzyce

Dotyczy: ustawowego obowiązku, wynikającego z art. 152 ust. 1 i ust. 7 w związku z ust. 6 pkt 1c ustawy z dnia 27 kwietnia 2001r – Prawo ochrony środowiska (Dz.U. z 2019r. poz.1396 z późn. zm.).

Działając z upoważnienia T-Mobile Polska S.A. z siedzibą ul. Marynarska 12, 02-674 Warszawa, informuję o zmianie danych w zakresie wielkości i rodzaju emisji dla stacji bazowej 33691 (73691N!) PSZ_BIELICE_STARECHRAPOWO zlokalizowanej w miejscowości STARE CHRAPOWO 15. W stosunku do informacji zawartej w zgłoszeniu realizowanym dla tej stacji w trybie art. 152 ust. 1 i 5 ustawy z dnia 27 kwietnia 2001r – Prawo ochrony środowiska (Dz.U. z 2019r. poz.1396 z późn. zm.), dane ulegają zmianie w następujący sposób:

9. Wielkość i rodzaj emisji²⁾:

Pole elektromagnetyczne. EIRP poszczególnych anten zostało podane w pkt 12, tj.

Lp.	Równoważna moc promieniowana izotropowo (EIRP) [W]
1.	8381.0
2.	8381.0
3.	8381.0
4.	2818.4
5.	2958.2
6.	3724.2
7.	631.0

12. Szczegółowe dane, odpowiednio do rodzaju instalacji, zgodne z wymaganiami określonymi w załączniku nr 2 do Rozporządzenia:

Lp. ³⁾	1)	2)	3)	4)	5)	
	Współrzędne geograficzne	Częstotliwość lub zakresy częstotliwości pracy instalacji [MHz]	Wysokość środka elektrycznego anteny [m n.p.t]	Równoważna moc promieniowana izotropowo (EIRP) [W]	Azymut [°]	Zakres kątów pochylenia [°]
1.	14°47'27,1" 53°10'32,6"	UMTS 900/ LTE 800/ GSM 900	56.3	8381.0	50	2/ 5/ 2
2.	14°47'27" 53°10'32,5"	UMTS 900/ LTE 800/ GSM 900	56.3	8381.0	200	2/ 4/ 2
3.	14°47'25,9" 53°10'32,7"	UMTS 900/ LTE 800/ GSM 900	56.3	8381.0	300	2/ 4/ 2
4.	14°47'27,0" 53°10'32,5"	23000	60.0	2818.4	119	nd.
5.	14°47'26,9" 53°10'32,6"	23000	58.0	2958.2	272	nd.
6.	14°47'26,9" 53°10'32,6"	23000	59.2	3724.2	300	nd.
7.	14°47'26,9" 53°10'32,6"	32000	45.0	631.0	358	nd.

*) tolerancja azymutu od -10° do +10°.

Informuję, iż dokonane zmiany w zakresie wielkości i rodzaju emisji przedmiotowej instalacji nie powodują zmiany instalacji w sposób istotny zgodnie z art. 3 pkt 7 ustawy Poś.

Jednocześnie informuję, iż analizowane przedsięwzięcie nadal **nie kwalifikuje się** do przedsięwzięć mogących znacząco oddziaływać na środowisko biorąc pod uwagę, iż w osi głównych wiązek promieniowania anten sektorowych w odległościach podanych w Rozporządzeniu Rady Ministrów z dnia 10 września 2019r. w sprawie przedsięwzięć mogących znacząco oddziaływać na środowisko /Dz.U. 2019 poz. 1839 ze zm./ nie znajdują się miejsca dostępne dla ludności.

W załączniku przesyłam:

1. Pełnomocnictwo
2. Kopia potwierdzenia wniesienia opłaty skarbowej.

Otrzymują:

1. a/a
2. adresat



AB 419

**S P R A W O Z D A N I E 4685/2020/OS
Z POMIARÓW PÓL ELEKTROMAGNETYCZNYCH
WYKONANYCH DLA POTRZEB OCHRONY ŚRODOWISKA**

Badany obiekt: Instalacja radiokomunikacyjna T-Mobile Polska S.A.
Numer i nazwa: 33691 (73691N!) PSZ_BIELICE_STARECHRAPOWO
Adres: STARE CHRAPOWO, STARE CHRAPOWO 15, Powiat pyrzycki,
WOJ. ZACHODNIOPOMORSKIE

Data wykonania pomiarów: 2020-08-05

Sprawozdanie z badań bez pisemnej zgody laboratorium nie może być powielane inaczej niż w całości.
Wynik przedstawione w niniejszym sprawozdaniu odnoszą się wyłącznie do badanego obiektu i do warunków i konfiguracji urządzeń w dniu wykonywania pomiarów.

1. Właściciel badanego obiektu:

T-Mobile Polska S.A., ul. Marynarska 12, 02-674 Warszawa

2. Zleceniodawca:

T-Mobile Polska S.A., ul. Marynarska 12, 02-674 Warszawa

3. Przedstawiciel zleceniodawcy:

4. Zakres zlecenia:

Wykonanie badania i opracowanie sprawozdania z pomiarów natężenia pola elektrycznego i pola magnetycznego dla instalacji radiokomunikacyjnej T-Mobile Polska S.A. zlokalizowanej w miejscowości STARE CHRAPOWO, STARE CHRAPOWO 15.

5. Cel zlecenia:

Wykonanie pomiarów pól elektromagnetycznych w otoczeniu instalacji radiokomunikacyjnej 33691 (73691N!) PSZ_BIELICE_STARECHRAPOWO w odniesieniu do wymagań określonych w Rozporządzeniu Ministra Klimatu z dnia 17 lutego 2020 r. w sprawie sposobów sprawdzania dotrzymania dopuszczalnych poziomów pól elektromagnetycznych w środowisku (Dz. U. 2020, poz. 258).

6. Pomiary zostały wykonane przez:

7. Informacje o źródłach pól elektromagnetycznych

7.1. Sposób identyfikacji badanych źródeł pól elektromagnetycznych

Identyfikacji źródeł i parametrów technicznych dokonano na podstawie analizy dokumentacji dotyczącej zlecenia oraz obserwacji miejsca wykonywania badań.

7.2. Opis miejsca zainstalowania anten i urządzeń technicznych. Opis obiektu badań i jego otoczenia

Instalacja radiokomunikacyjna zlokalizowana jest na terenie ogrodzonym. Anteny zawieszono na wieży kratowej. Urządzenia sterujące oraz zasilające zainstalowano w szafie outdoor u podstawy wieży. Wokół instalacji znajduje się wieś.

Instalacja radiokomunikacyjna jest obiektem bezobsługowym. Okresowe stanowiska pracy związane są z prowadzonymi w zależności od potrzeb konserwacjami, przeglądami, strojeniem i naprawami.

Sprawozdanie z badań bez pisemnej zgody laboratorium nie może być powielane inaczej niż w całości.
Wynik przedstawione w niniejszym sprawozdaniu odnoszą się wyłącznie do badanego obiektu i do warunków i konfiguracji urządzeń w dniu wykonywania pomiarów.

7.3. Parametry techniczne źródła pola elektromagnetycznego

Dane przedstawiające maksymalne parametry pracy instalacji przekazane przez zleceniodawcę:

Parametry systemu nadawczo-odbiorczego:

Charakterystyka promieniowania		kierunkowa					
Rzeczywisty czas pracy [h/dobę]		24					
Warunki pracy		znamionowe					
Rodzaj wytwarzanego pola		stacjonarne					
Lp.	Częstotliwość lub zakresy częstotliwości pracy [MHz]	Typ/producent anteny	liczba anten	Azymut [°]	kąt pochylecia [°]	Wysokość środka elektrycznego anteny [m n.p.t]	Równoważna moc promieniowana izotropowo (EIRP) [W]
1	LTE 800/ UMTS 900/ GSM 900	ADU451723 Huawei	1	50	5/ 2/ 2	56.3	8381
2	UMTS 900/ GSM 900/ LTE 800	ADU451723 Huawei	1	200	2/ 2/ 4	56.3	8381
3	LTE 800/ UMTS 900/ GSM 900	ADU451723 Huawei	1	300	4/ 2/ 2	56.3	8381

Parametry radiolinii:

Charakterystyka promieniowania		kierunkowa					
Rzeczywisty czas pracy [h/dobę]		24					
Warunki pracy		znamionowe					
Rodzaj wytwarzanego pola		stacjonarne					
Lp.	Linia radiowa			Antena			
	Typ/ Producent	Częstotliwość pracy [GHz]	Równoważna moc promieniowana izotropowo (EIRP) [W]*	Typ/ producent	Średnica anteny [m]	Azymut [°]	Wysokość zainstalowania n.p.t [m]
1	NP ERICSSON RAU2X 23GHZ 28MHz Ericsson	23	2818,4	UKY 220 45/SC15 Ericsson	0.6	119	60
2	NP ERICSSON RAU2X 23GHZ 2x28MHz XPIC Ericsson	23	2958.2	UKY 230 42/07H Ericsson	0.6	272	58
3	NP ERICSSON ML 6363 23GHZ 2x28MHz XPIC Ericsson	23	3724.2	ANT3_0.6 23 HP/HPX Ericsson	0.6	300	59.2
4	NEC iPasolink 200	32	631	VHLP1-32	0.3	358	45

7.4 Inne źródła pól elektromagnetycznych

Na podstawie informacji otrzymanych od użytkownika oraz obserwacji otoczenia miejsca wykonywania pomiarów oraz dokumentacji nie stwierdzono występowania innych źródeł promieniowania elektromagnetycznego, które w zakresie badanych częstotliwości mogą bezpośrednio wpływać na wynik wartości mierzonej.

8. Opis pomiarów**8.1. Metoda badań**

Rozporządzeniem Ministra Klimatu z dnia 17 lutego 2020 r. w sprawie sposobów sprawdzania dotrzymania dopuszczalnych poziomów pól elektromagnetycznych w środowisku (Dz. U. 2020, poz. 258), określona w pkt 25 ppkt 1 załącznika do niniejszego rozporządzenia.

Sprawozdanie z badań bez pisemnej zgody laboratorium nie może być powielane inaczej niż w całości. Wynik przedstawione w niniejszym sprawozdaniu odnoszą się wyłącznie do badanego obiektu i do warunków i konfiguracji urządzeń w dniu wykonywania pomiarów.

8.2. Termin pomiarów i warunki środowiskowe

Podczas wykonywania pomiarów pól elektromagnetycznych nie występowały opady atmosferyczne. Wyniki pomiaru parametrów pogodowych przedstawia poniższa tabela:

Data [rrrr-mm-dd]	Godzina [hh:mm-hh:mm]	Warunki środowiskowe			
		Temperatura [°C]		Wilgotność względna [%]	
2020-08-05	11:45-12:35	Przed pomiarem	Po pomiarach	Przed pomiarem	Po pomiarach
		23.2	24.6	57.4	56.6

8.3. Warunki pracy urządzeń nadawczych

Podczas pomiarów zostały uwzględnione poprawki pomiarowe przekazane przez zleceniodawcę, umożliwiające uwzględnienie maksymalnych parametrów pracy instalacji zgodnie z pkt 7 załącznika do Rozporządzenia Ministra Klimatu z dnia 17 lutego 2020 r. w sprawie sposobów sprawdzania dotrzymania dopuszczalnych poziomów pól elektromagnetycznych w środowisku (Dz. U. 2020, poz. 258).

8.4. Wyposażenie pomiarowe

Zestaw pomiarowy służący do pomiaru natężenia składowej elektrycznej pola elektromagnetycznego złożony z szerokopasmowego miernika i sondy pomiarowej:

Oznaczenie miernika	Producent	Model	Numer fabryczny	Oznaczenie sondy	Producent	Model	Numer fabryczny
M-17	Narda Safety Test Solution	Miernik pól elektromagnetycznych NBM-550	H-0128	S-17	Narda Safety Test Solution	Sonda EF-9091	A-0056

Mierniki natężenia pola elektromagnetycznego podlegają okresowemu sprawdzeniu zgodnie z procedurą wewnętrzną P-03 i PB-01. Świadczenie wzorcowania zestawu pomiarowego z dnia 10 kwietnia 2019 o numerze LWIMP/W/121/19 wydane przez Laboratorium Wzorców i Metrologii Pola Elektromagnetycznego (LWIMP) Politechniki Wrocławskiej. Data ważności świadectwa wzorcowania: 10 kwietnia 2021 (zgodnie z procedurą wewnętrzną P-03).

Termohigrometr:

Oznaczenie:	TH-13	Producent:	AZ INSTRUMENT CORP	Model:	Termohigrometr AZ8706
-------------	-------	------------	--------------------	--------	-----------------------

Data ważności świadectwa wzorcowania: 21 grudnia 2020 (zgodnie z procedurą wewnętrzną P-03).

Dalmierz:

Oznaczenie	Producent	Typ	Numer seryjny	Nr świadectwa wzorcowania	Data świadectwa wzorcowania
D-10	Leica	Dalmierz laserowy	1042956690	4609.13-M11-4180-1748/14	9 stycznia 2015

Data ważności świadectwa wzorcowania: 9 stycznia 2025 (zgodnie z procedurą wewnętrzną P-03).

8.5. Znaki ostrzegawcze

Urządzenia nadawcze oraz obszar wokół obiektu oznaczono symbolami zgodnymi z PN-74/T - 06260. Źródła promieniowania elektromagnetycznego - Znaki ostrzegawcze.

9. Wyniki pomiarów

Pole elektryczne

Nr pionu	Opis umiejscowienia pionu (punktu) pomiarowego	Wysokość pomiaru [m]	Zmierzona wartość natężenia pola elektrycznego E [V/m] ^{1,6}	Wartość natężenia pola elektrycznego po uwzględnieniu poprawek pomiarowych powiększona o niepewność pomiaru ⁵ E [V/m]	Wskaźnikowa wartość poziomu emisji pól elektromagnetycznych WM ⁴	Współrzędne geograficzne pionu (punktu) pomiarowego ³
1	GKP 50°, 10m od trzonu wieży	0,3-2,0	<1,0*	2.4	0.09	53°10'32,6" 14°47'27,3"
2	GKP 50°, 30m od trzonu wieży	0,3-2,0	<1,0*	2.4	0.09	53°10'33,0" 14°47'28,1"
3	GKP 50°, 50m od trzonu wieży	0,3-2,0	<1,0*	2.4	0.09	53°10'33,4" 14°47'28,9"
4	GKP 50°, 70m od trzonu wieży	0,3-2,0	<1,0*	2.4	0.09	53°10'33,8" 14°47'29,8"
5	GKP 119°, 10m od trzonu wieży	0,3-2,0	<1,0*	2.4	0.09	53°10'32,2" 14°47'27,4"

Sprawozdanie z badań bez pisemnej zgody laboratorium nie może być powielane inaczej niż w całości. Wynik przedstawione w niniejszym sprawozdaniu odnoszą się wyłącznie do badanego obiektu i do warunków i konfiguracji urządzeń w dniu wykonywania pomiarów.

ul.

6	GKP 119°, 30m od trzonu wieży	0,3-2,0	<1,0*	2.4	0.09	53°10'31,9" 14°47'28,3"
7	GKP 119°, 50m od trzonu wieży	0,3-2,0	<1,0*	2.4	0.09	53°10'31,6" 14°47'29,2"
8	GKP 200°, 10m od trzonu wieży	0,3-2,0	<1,0*	2.4	0.09	53°10'32,1" 14°47'26,7"
9	GKP 200°, 40m od trzonu wieży	0,3-2,0	<1,0*	2.4	0.09	53°10'31,2" 14°47'26,1"
10	GKP 200°, 60m od trzonu wieży	0,3-2,0	<1,0*	2.4	0.09	53°10'30,6" 14°47'25,8"
11	GKP 272°, 10m od trzonu wieży	0,3-2,0	<1,0*	2.4	0.09	53°10'32,4" 14°47'26,4"
12	GKP 272°, 30m od trzonu wieży	0,3-2,0	<1,0*	2.4	0.09	53°10'32,4" 14°47'25,3"
13	GKP 272°, 50m od trzonu wieży	0,3-2,0	<1,0*	2.4	0.09	53°10'32,4" 14°47'24,3"
14	GKP 300°, 10m od trzonu wieży	0,3-2,0	<1,0*	2.4	0.09	53°10'32,5" 14°47'26,4"
15	GKP 300°, 30m od trzonu wieży	0,3-2,0	<1,0*	2.4	0.09	53°10'32,8" 14°47'25,5"
16	GKP 300°, 50m od trzonu wieży	0,3-2,0	<1,0*	2.4	0.09	53°10'33,2" 14°47'24,6"
17	GKP 300°, 70m od trzonu wieży	0,3-2,0	<1,0*	2.4	0.09	53°10'33,5" 14°47'23,7"
18	GKP 358°, 10m od trzonu wieży	0,3-2,0	<1,0*	2.4	0.09	53°10'32,7" 14°47'26,9"
19	GKP 358°, 30m od trzonu wieży	0,3-2,0	<1,0*	2.4	0.09	53°10'33,3" 14°47'26,9"
20	PPP- w otoczeniu instalacji radiokomunikacyjnej	0,3-2,0	<1,0*	2.4	0.09	53°10'33,0" 14°47'27,4"
21	PPP- w otoczeniu instalacji radiokomunikacyjnej	0,3-2,0	<1,0*	2.4	0.09	53°10'32,0" 14°47'27,1"
22	PPP- w otoczeniu instalacji radiokomunikacyjnej	0,3-2,0	<1,0*	2.4	0.09	53°10'32,2" 14°47'25,7"
-	GKP 50°, 290m od anten sektorowych	0,3-2,0	<1,0*	2.4	0.09	53°10'38,4" 14°47'38,8"
-	GKP 50°, 580m od anten sektorowych	0,3-2,0	<1,0*	2.4	0.09	53°10'44,4" 14°47'50,7"
-	GKP 200°, 290m od anten sektorowych	0,3-2,0	<1,0*	2.4	0.09	53°10'23,6" 14°47'21,6"
-	GKP 200°, 580m od anten sektorowych	0,3-2,0	<1,0*	2.4	0.09	53°10'14,8" 14°47'16,3"
-	GKP 300°, 290m od anten sektorowych	0,3-2,0	<1,0*	2.4	0.09	53°10'37,1" 14°47'13,5"
-	GKP 300°, 580m od anten sektorowych	0,3-2,0	<1,0*	2.4	0.09	53°10'41,8" 14°46'60,0"

Pole magnetyczne (wyznaczone na podstawie pomiaru wartości natężenia pola elektrycznego)

Nr pionu	Opis umiejscowienia pionu (punktu) pomiarowego	Wysokość pomiaru [m]	Zmierzona wartość natężenia pola magnetycznego H [A/m]	Wartość natężenia pola magnetycznego po uwzględnieniu poprawek pomiarowych powiększona o niepewność pomiaru ² H [A/m] ²	Wskaźnikowa wartość poziomu emisji pól elektromagnetycznych WM, ⁴	Współrzędne geograficzne pionu (punktu) pomiarowego ³
1	GKP 50°, 10m od trzonu wieży	0,3-2,0	<0.003*	0.006	0.09	53°10'32,6" 14°47'27,3"
2	GKP 50°, 30m od trzonu wieży	0,3-2,0	<0.003*	0.006	0.09	53°10'33,0" 14°47'28,1"
3	GKP 50°, 50m od trzonu wieży	0,3-2,0	<0.003*	0.006	0.09	53°10'33,4" 14°47'28,9"
4	GKP 50°, 70m od trzonu wieży	0,3-2,0	<0.003*	0.006	0.09	53°10'33,8" 14°47'29,8"
5	GKP 119°, 10m od trzonu wieży	0,3-2,0	<0.003*	0.006	0.09	53°10'32,2" 14°47'27,4"
6	GKP 119°, 30m od trzonu wieży	0,3-2,0	<0.003*	0.006	0.09	53°10'31,9" 14°47'28,3"
7	GKP 119°, 50m od trzonu wieży	0,3-2,0	<0.003*	0.006	0.09	53°10'31,6" 14°47'29,2"
8	GKP 200°, 10m od trzonu wieży	0,3-2,0	<0.003*	0.006	0.09	53°10'32,1" 14°47'26,7"

Sprawozdanie z badań bez pisemnej zgody laboratorium nie może być powielane inaczej niż w całości.
Wynik przedstawione w niniejszym sprawozdaniu odnoszą się wyłącznie do badanego obiektu i do warunków i konfiguracji urządzeń w dniu wykonywania pomiarów.

9	GKP 200°, 40m od trzonu wieży	0,3-2,0	<0.003*	0.006	0.09	53°10'31,2" 14°47'26,1"
10	GKP 200°, 60m od trzonu wieży	0,3-2,0	<0.003*	0.006	0.09	53°10'30,6" 14°47'25,8"
11	GKP 272°, 10m od trzonu wieży	0,3-2,0	<0.003*	0.006	0.09	53°10'32,4" 14°47'26,4"
12	GKP 272°, 30m od trzonu wieży	0,3-2,0	<0.003*	0.006	0.09	53°10'32,4" 14°47'25,3"
13	GKP 272°, 50m od trzonu wieży	0,3-2,0	<0.003*	0.006	0.09	53°10'32,4" 14°47'24,3"
14	GKP 300°, 10m od trzonu wieży	0,3-2,0	<0.003*	0.006	0.09	53°10'32,5" 14°47'26,4"
15	GKP 300°, 30m od trzonu wieży	0,3-2,0	<0.003*	0.006	0.09	53°10'32,8" 14°47'25,5"
16	GKP 300°, 50m od trzonu wieży	0,3-2,0	<0.003*	0.006	0.09	53°10'33,2" 14°47'24,6"
17	GKP 300°, 70m od trzonu wieży	0,3-2,0	<0.003*	0.006	0.09	53°10'33,5" 14°47'23,7"
18	GKP 358°, 10m od trzonu wieży	0,3-2,0	<0.003*	0.006	0.09	53°10'32,7" 14°47'26,9"
19	GKP 358°, 30m od trzonu wieży	0,3-2,0	<0.003*	0.006	0.09	53°10'33,3" 14°47'26,9"
20	PPP- w otoczeniu instalacji radiokomunikacyjnej	0,3-2,0	<0.003*	0.006	0.09	53°10'33,0" 14°47'27,1"
21	PPP- w otoczeniu instalacji radiokomunikacyjnej	0,3-2,0	<0.003*	0.006	0.09	53°10'32,0" 14°47'27,1"
22	PPP- w otoczeniu instalacji radiokomunikacyjnej	0,3-2,0	<0.003*	0.006	0.09	53°10'32,2" 14°47'25,7"
-	GKP 50°, 290m od anten sektorowych	0,3-2,0	<0.003*	0.006	0.09	53°10'38,4" 14°47'38,8"
-	GKP 50°, 580m od anten sektorowych	0,3-2,0	<0.003*	0.006	0.09	53°10'44,4" 14°47'50,7"
-	GKP 200°, 290m od anten sektorowych	0,3-2,0	<0.003*	0.006	0.09	53°10'23,6" 14°47'21,6"
-	GKP 200°, 580m od anten sektorowych	0,3-2,0	<0.003*	0.006	0.09	53°10'14,8" 14°47'16,3"
-	GKP 300°, 290m od anten sektorowych	0,3-2,0	<0.003*	0.006	0.09	53°10'37,1" 14°47'13,5"
-	GKP 300°, 580m od anten sektorowych	0,3-2,0	<0.003*	0.006	0.09	53°10'41,8" 14°46'50,0"

GKP - Główny Kierunek Pomiarowy
PPP - Pomocniczy Pion pomiarowy

* wyniki oznaczone * są wynikami poniżej czułości zestawu pomiarowego

² wartość wyznaczona na podstawie pomiaru wartości skutecznej natężenia pola elektrycznego, z zależności: $H=E/377$

³ współrzędne geograficzne pozyskane metodą obliczeniową w oparciu o pomiar punktu referencyjnego, z dokładnością nie gorszą niż wymaganą w ZoE

⁴ do wyznaczenia wartości wskaźnikowej W_{ME} i W_{MH} przyjęto na podstawie uzgodnień z klientem oraz rozpoznania źródeł, jako wartości dopuszczalne pola elektrycznego i magnetycznego odpowiednio 28 V/m i 0,073 A/m.

⁵ do wyznaczenia niepewności dla wyników poniżej czułości zestawu pomiarowego, przyjęto niepewność dla minimalnej wartości z zakresu pomiarowego.

⁶ maksymalna wartość chwilowa

Niepewność oszacowano zgodnie z dokumentem P-03 „Procedura nadzoru nad wyposażeniem” w postaci niepewności rozszerzonej wynikającej z niepewności standardowej pomnożonej przez współczynnik rozszerzenia $k=2$.

Całkowita szacowana niepewność rozszerzona składowej E wynosi odpowiednio: 54.4% dla częstotliwości do 60 GHz

Dla przedmiotowych pomiarów zlecniodawca określił poprawkę pomiarową = 1.55.

Umieszczenie pionów (punktów) pomiarowych przedstawiono w nr 2 do niniejszego sprawozdania.

10. Omówienie wyników pomiarów

Pomiary zostały wykonane:

- na głównych i pomocniczych kierunkach pomiarowych, na kierunkach zbliżonych do azymutów anten oraz w dodatkowych pionach pomiarowych zgodnie z wymaganiami pkt 12, 13, 14 i 19 załącznika do rozporządzenia Ministra Klimatu z dnia 17 lutego 2020 r. (Dz. U. 2020, poz. 258),
- na obszarze pomiarowym, dla którego, na podstawie uprzednio wykonanych obliczeń uzyskanych od zlecniodawcy, stwierdzono możliwość występowania pól elektromagnetycznych o poziomach zbliżonych do poziomów dopuszczalnych zgodnie z wymaganiami pkt 5 ppkt 2 oraz pkt 13 ppkt 1 załącznika do rozporządzenia Ministra Klimatu z dnia 17 lutego 2020 r. (Dz. U. 2020, poz. 258).

Sprawozdanie z badań bez pisemnej zgody laboratorium nie może być powielane inaczej niż w całości.
Wynik przedstawione w niniejszym sprawozdaniu odnoszą się wyłącznie do badanego obiektu i do warunków i konfiguracji urządzeń w dniu wykonywania pomiarów.

3. na terenach przeznaczonych pod zabudowę mieszkaniową oraz w miejscach dostępnych dla ludności.

Wyniki pomiarów uzyskane zostały przy uwzględnieniu poprawek pomiarowych przekazanych przez zleceniodawcę, umożliwiających uwzględnienie maksymalnych parametrów pracy instalacji.

W wyniku zastosowania sposobu sprawdzenia dotrzymania dopuszczalnych poziomów pól elektromagnetycznych w środowisku, zgodnie pkt 25 ppkt 1 Rozporządzenia Ministra Klimatu z dnia 17 lutego 2020 r. (Dz. U. 2020, poz. 258), stwierdza się, że w obszarze pomiarowym dla instalacji radiokomunikacyjnej 33691 (73691N!) PSZ_BIELICE_STARECHRAPOWO dopuszczalne poziomy pole elektromagnetycznych w środowisku należy uznać za dotrzymane.

11. Podstawa prawna

- 1) Ustawa z dnia 27 kwietnia 2001 r. Prawo ochrony środowiska (Dz. U. z 2019 r., poz. 1396 ze zm.)
- 2) Rozporządzenie Ministra Zdrowia z dnia 17 grudnia 2019 r. w sprawie dopuszczalnych poziomów pól elektromagnetycznych w środowisku (Dz. U. 2019, poz. 2448)
- 3) Rozporządzenie Ministra Klimatu z dnia 17 lutego 2020 r. w sprawie sposobów sprawdzania dotrzymania dopuszczalnych poziomów pól elektromagnetycznych w środowisku (Dz. U. 2020, poz. 258),
- 4) PN-74/ T - 06260. Źródła promieniowania elektromagnetycznego. Znaki Ostrzegawcze.
- 5) Akredytacja nr AB 419 wydana przez Polskie Centrum Akredytacji (wydanie 16, z dnia 25 lutego 2020r.).


12. Spis załączników

- Załącznik 1. Lokalizacja obiektu badań
Załącznik 2. Usytuowanie pionów (punktów) pomiarowych
Załącznik 3. Dokumentacja fotograficzna obiektu badań

13. Data wydania i autoryzowania sprawozdania - 20 sierpnia 2020.

Obliczenia i sprawozdanie wykonał :

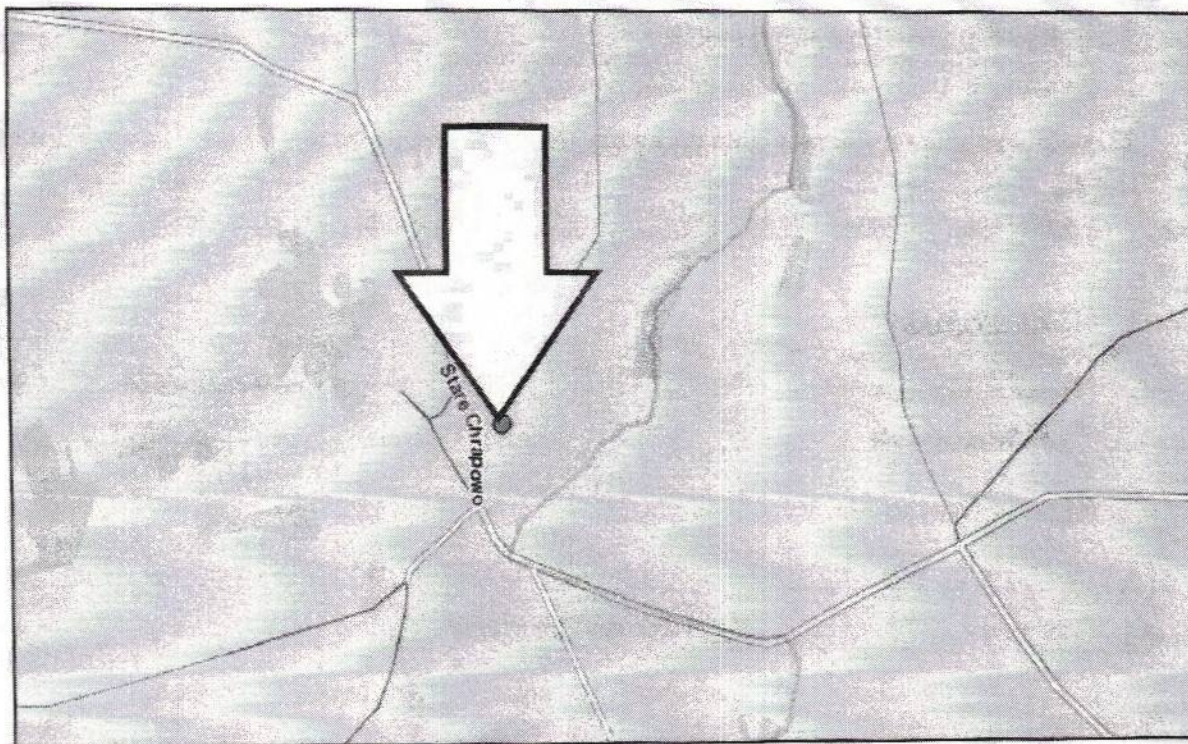
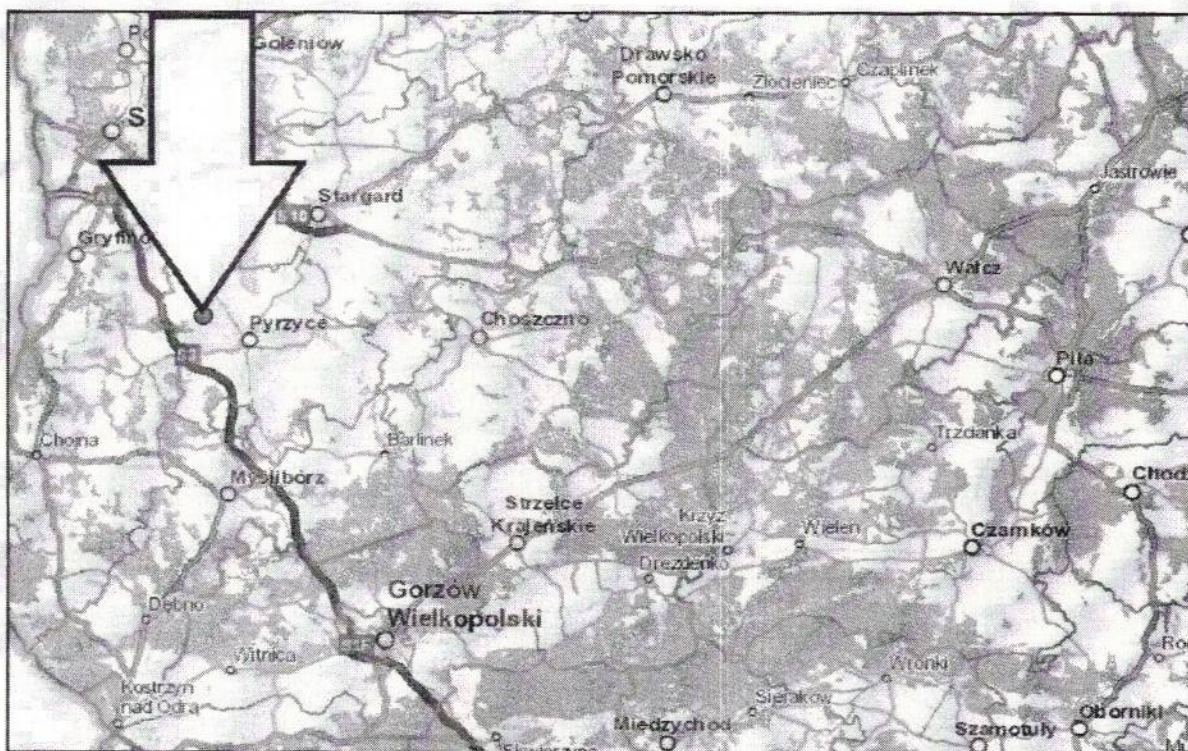
Sprawozdanie autoryzował:


Starszy specjalista
ds. opracowywania sprawozdań
Laboratorium
Badań Środowiskowych


Starszy Specjalista ds. pomiarów
Laboratorium

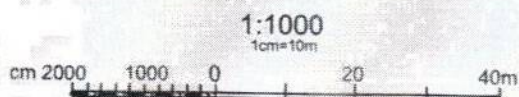
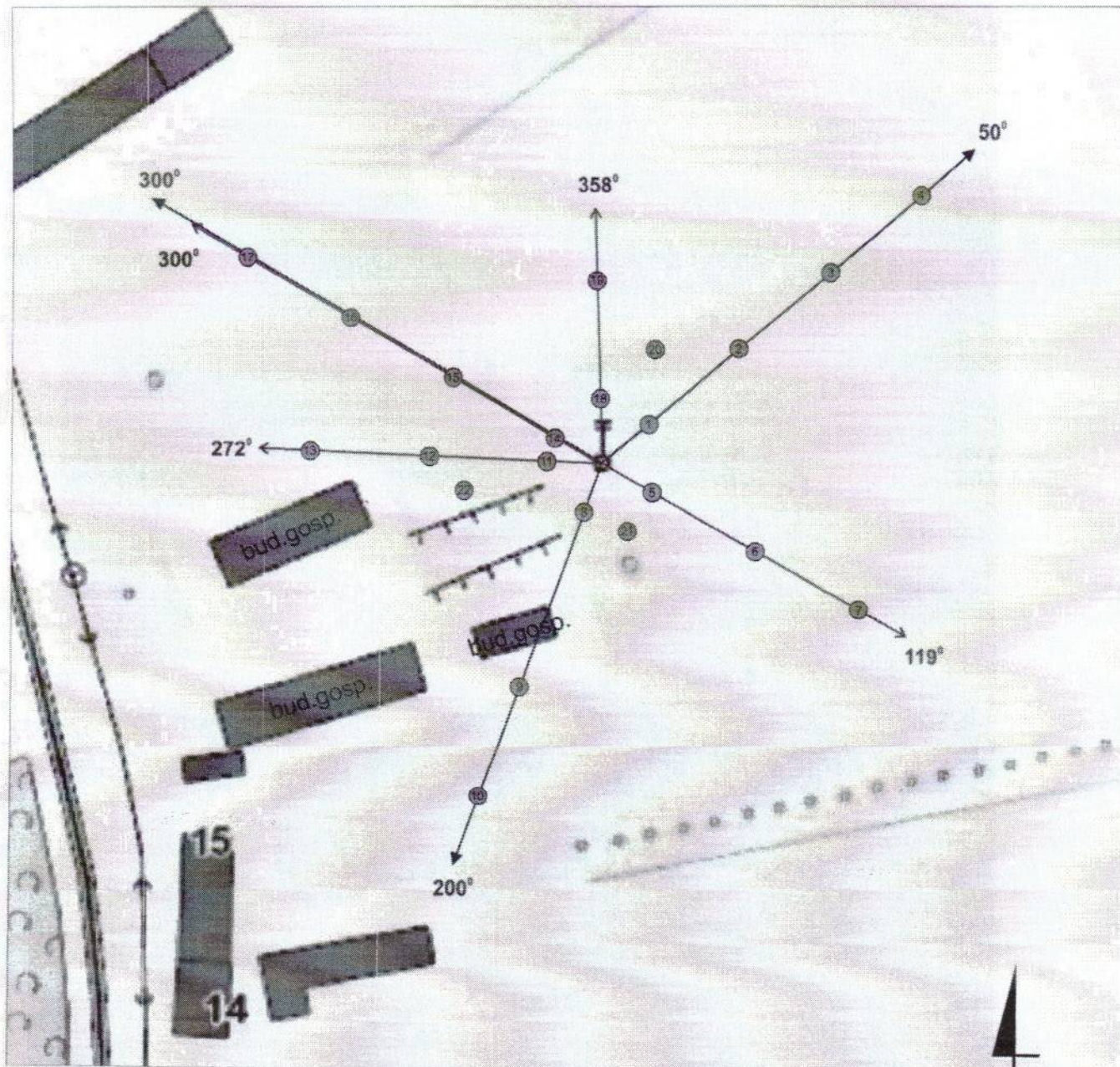
Koniec sprawozdania

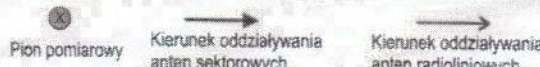
Sprawozdanie z badań bez pisemnej zgody laboratorium nie może być powielane inaczej niż w całości.
Wynik przedstawione w niniejszym sprawozdaniu odnoszą się wyłącznie do badanego obiektu i do warunków i konfiguracji urządzeń w dniu wykonywania pomiarów.



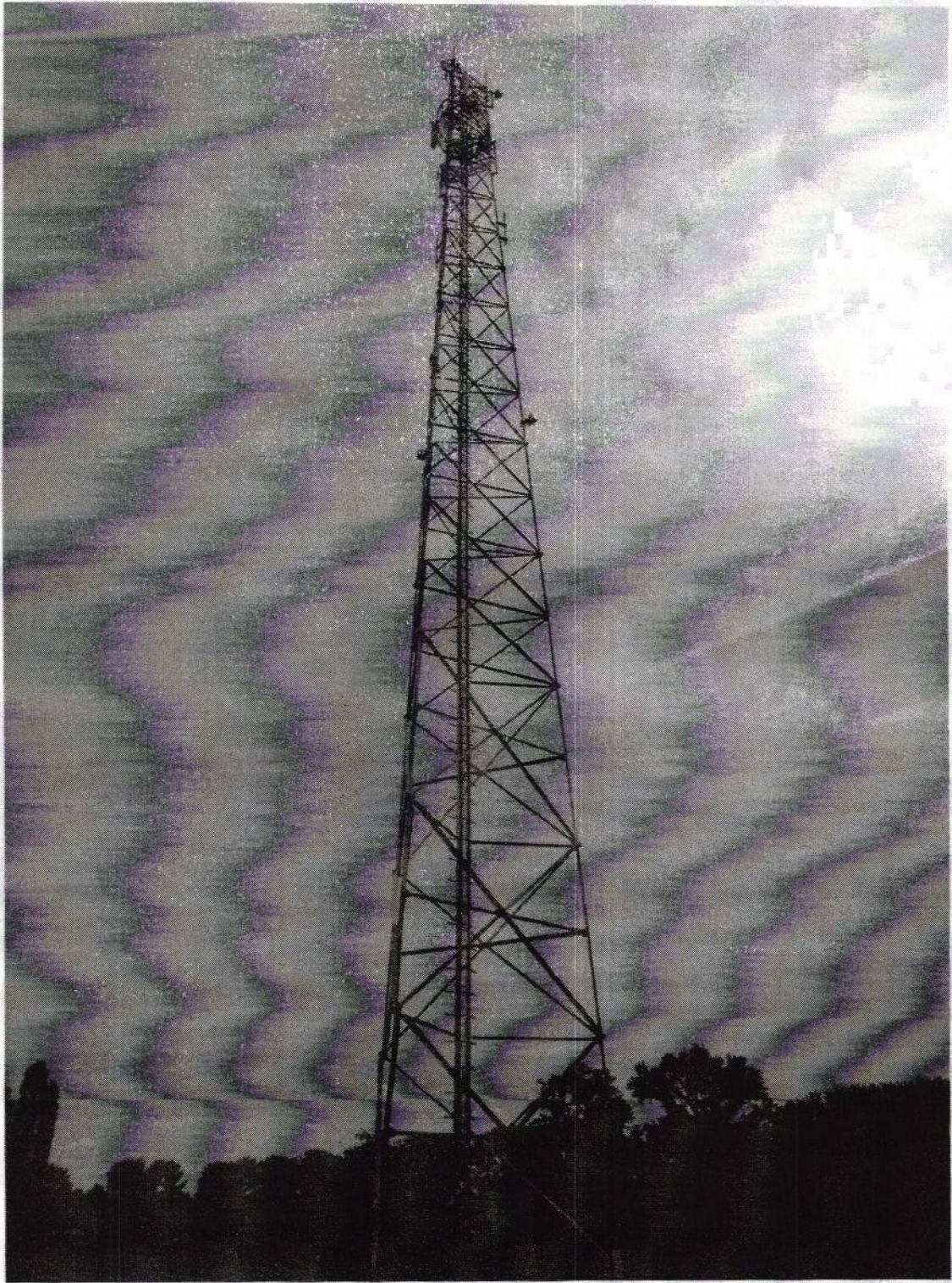
Załącznik nr 1	Instalacja radiokomunikacyjna T-Mobile Polska S.A. 33691 (73691N!) PSZ_BIELICE_STARECHRAPOWO Lokalizacja instalacji radiokomunikacyjnej
----------------	--

Sprawozdanie z badań bez pisemnej zgody laboratorium nie może być powielane inaczej niż w całości.
 Wynik przedstawione w niniejszym sprawozdaniu odnoszą się wyłącznie do badanego obiektu i do warunków i konfiguracji urządzeń w dniu wykonywania pomiarów.



Załącznik nr 2	Instalacja radiokomunikacyjna T-Mobile Polska S.A. 33691 (73691N!) PSZ_BIELICE_STARECHRAPOWO Usytuowanie pionów pomiarowych w otoczeniu instalacji radiokomunikacyjnej
SKALA 1:1000	Legenda:  Pion pomiarowy Kierunek oddziaływania anten sektorowych Kierunek oddziaływania anten radioliniowych

Sprawozdanie z badań bez pisemnej zgody laboratorium nie może być powielane inaczej niż w całości.
 Wynik przedstawione w niniejszym sprawozdaniu odnoszą się wyłącznie do badanego obiektu i do warunków i konfiguracji urządzeń w dniu wykonywania pomiarów.



Załącznik nr 3

Instalacja radiokomunikacyjna T-Mobile Polska S.A. 33691 (73691NI) PSZ_BIELICE_STARECHRAPOWO
Zdjęcia instalacji radiokomunikacyjnej

Sprawozdanie z badań bez pisemnej zgody laboratorium nie może być powielane inaczej niż w całości.
Wynik przedstawione w niniejszym sprawozdaniu odnoszą się wyłącznie do badanego obiektu i do warunków i konfiguracji urządzeń w dniu wykonywania pomiarów.